

МАГНИТООПТИКА НЕСЖИМАЕМОЙ ФЕРМИ-ЖИДКОСТИ В УЛЬТРА КВАНТОВОМ ПРЕДЕЛЕ

*И.В.Кукушкин, К. фон Клитцинг¹⁾, А.Плаут¹⁾, К.Плоэ¹⁾,
Х.Буман²⁾, В.Йосс²⁾, Ж.Мартинес³⁾, В.Б.Тимофеев*

В GaAs-AlGaAs гетероструктуре (ГС) исследована излучательная рекомбинация 2D-электронов с фотовозбужденными дырками, локализованными в монослое акцепторов, в сильных поперечных магнитных полях $H \leq 28T$ и при низких температурах $T \geq 400$ мК. Обнаружено, что при факторах заполнения $\nu < 1$ при изменении H спектральное положение линии люминесценции, отвечающей рекомбинации 2D-электронов из нижнего по спину состояния, демонстрирует скачки в шкале энергий при дробных $\nu = 2/3, 1/3, 4/5, 3/5, 2/5, 1/5, 1/7$ и $1/9$. Эти особенности исчезают при повышении T и связываются со скачками химического потенциала во взаимодействующей системе электронов при конденсации в несжимаемую ферми-жидкость.

1. Центральное место в физике низкоразмерных полупроводниковых систем занимает проблема основного состояния взаимодействующих 2D-электронов, помещенных в сильное поперечное магнитное поле ¹⁾. К настоящему времени надежно установлено, что в квантовом пределе, вплоть до факторов заполнения $\nu \geq 1/7$, и достаточно низких T основными состояниями такой системы являются состояния несжимаемой ферми-жидкости (НФЖ) ²⁻⁴⁾. Они обнаруживаются по дробному квантованию холловского сопротивления (ДКЭХ) ². Вместе с тем известные теоретические расчеты показывают, что в области $\nu \leq 1/5$ в системе электронов должен возникать дальний порядок (вигнеровская кристаллизация) ⁵. Усилия последних лет связаны с попытками продвинуться в эту чрезвычайно интересную область – малых концентраций, сильных магнитных полей и достаточно низких температур.

Наиболее распространенным инструментом изучения таких систем в полупроводниках является магнитотранспорт. Однако, по мере продвижения в области $\nu \ll 1$ при очень низких T из-за усиливающихся эффектов сильной локализации этот метод сталкивается с большими трудностями ^{6, 3)}. Эффекты сильной локализации, вместе с тем, в меньшей мере затрагивают возможности магнитооптики. Впервые оптический метод в режиме зробного КЭХ был успешно реализован в случае 2D-электронного канала в Si-полевом транзисторе ⁷. С помощью этого метода были определены кулоновские шели НФЖ при $\nu = 8/3, 7/3$. Однако в изученной системе правила отбора препятствуют исследованию 2D-электронов в квантовом пределе при достаточно низких T . Этих ограничений нет в случае электронных каналов в AlGaAs/GaAs ГС ⁸. Магнитооптика 2D-электронов в квантовых ямах (КЯ) на основе AlGaAs/GaAs ГС в режиме зробного КЭХ исследовалась в работе ⁹, где было обнаружено аномальное поведение линии электронно-дырочной рекомбинации в окрестности $\nu = 2/5$. В случае КЯ электронные и фотовозбужденные дырки пространственно не разделены. Поэтому в таких структурах эффекты конденсации в НФЖ могут маскироваться из-за сильных $e\cdot h$ корреляций (экстионный эффект) ¹⁰. Для магнитооптики в режиме ДКЭХ, на наш взгляд, более эффективно использовать такие ГС, в которых 2D-электронный канал вблизи одиночного гетероперехода пространственно разделен с монослоем акцепторов (δ-легированная ГС) ¹¹. В этом монослое локализуются фотовозбужденные дырки и с ними рекомбинируют 2D-электроны (вставка на рис. 1). Именно этот канал рекомбинации изучался в данной работе.

¹⁾ Институт им. М.Планка, Штутгарт.

²⁾ Институт им. М.Планка, Гренобль.

³⁾ Национальная магнитная лаборатория, Гренобль.

2. Мы исследовали несколько δ -легированных GaAs/AlGaAs ГС, имеющих толщину буферного слоя GaAs, около 10^3 Å. В структурах на расстоянии 250 Å от интерфейса создавался монослой акцепторов (Be) с концентрацией 10^{10} см $^{-2}$. В условиях непрерывного фотовозбуждения 2D-электроны рекомбинировали с дырками на акцепторах в этом монослое. При этом в спектрах люминесценции возникает соответствующая линия (B -линия)¹⁰. Концентрация 2D-электронов в изученных ГС составляла от $6 \cdot 10^{10}$ см $^{-2}$ до $6 \cdot 10^{11}$ см $^{-2}$ и ее можно было варьировать с помощью фотовозбуждения, меняя плотность мощности¹² (подвижность 2D-электронов, измеренная в темноте, составляла $3 \cdot 10^5$ и $1.5 \cdot 10^6$ см 2 /в·сек соответственно). При стационарной подсветке подвижность 2D-электронов существенно возрастала¹³.

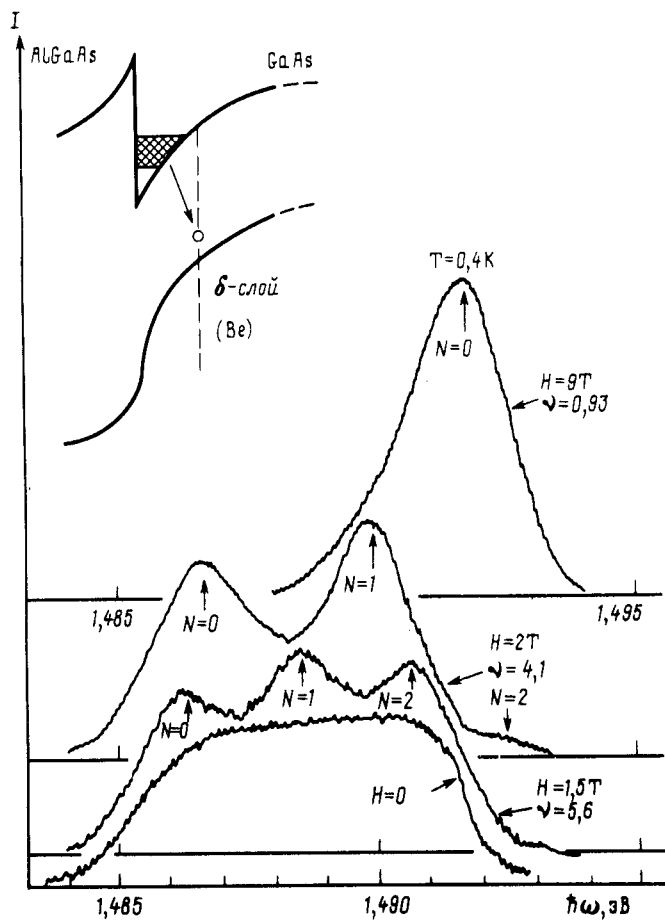


Рис. 1. Спектры люминесценции, измеренные при $H = 0$ (нижний спектр) и при различных магнитных полях, $T = 0,4$ К, $n_s = 2,02 \cdot 10^{11}$ см $^{-2}$. На рисунке указана нумерация уровней Ландау и факторы заполнения. На вставке схематично изображена энергетическая диаграмма гетероструктуры и исследуемый оптический переход

Для определения концентрации 2D-электронов мы использовали как магнитотранспортные, так и магнитооптические осцилляции Шубникова–де Гааза¹¹. Помимо этого n_s можно было определять из сравнения относительных интенсивностей рекомбинационного излучения 2D-электронов с различными уровнями Ландау при изменении H (см. пункт 3).

Измерения проводились при $T \geq 400$ мК в магнитных полях до $H = 28T$. Образцы крепились в специальной вставке, где конденсировался He³. Температура варьировалась откачкой паров He³. Излучение возбуждающего Ar⁺⁺⁺-лазера на образец и люминесценция от образца на входную щель спектрометра подводились с помощью световодов. Мощность лазерной подсветки на образце не превышала 1 мВт. Возникающие при этом перегревы не превышали 0,1 К. Спектральный прибор обеспечивал разрешение 0,06 мэВ.

3. На рис. 1 показаны спектры люминесценции, измеренные при $H = 0$ и $H \neq 0$. Видно, что в поперечном H возникает структура уровней Ландау и интенсивность соответствующих линий

изменяется в полном соответствии с вариацией ν . Этот факт также использовался для определения концентрации 2D-электронов.

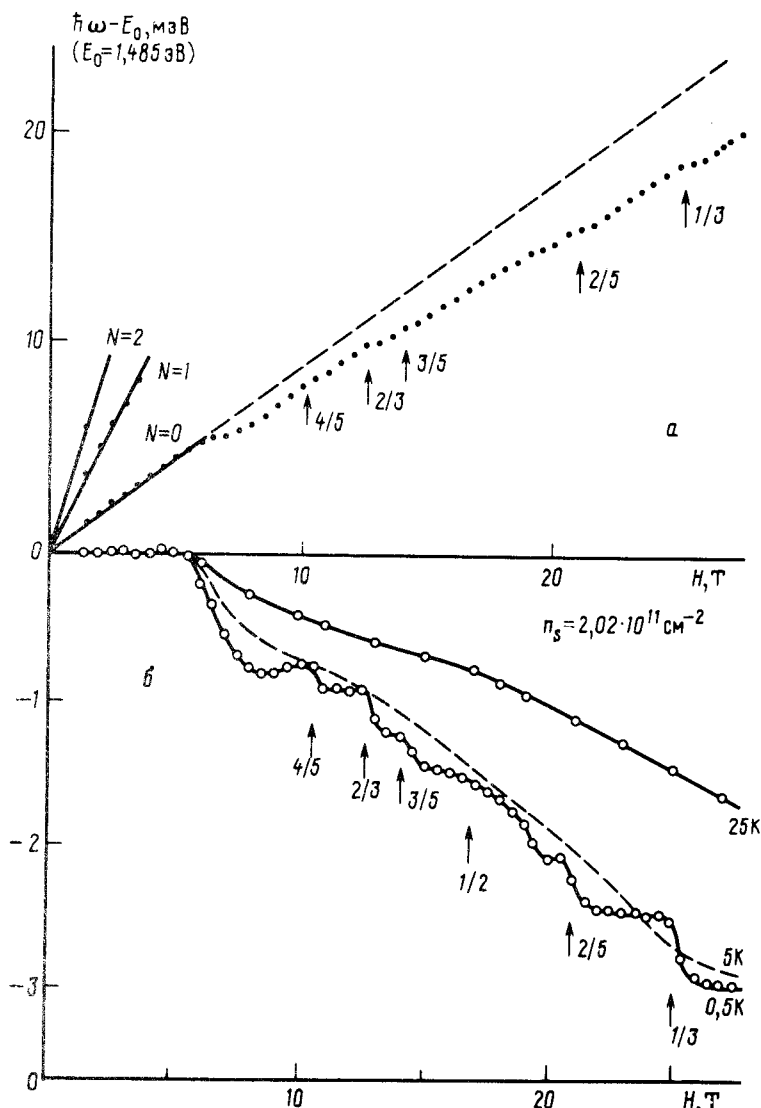


Рис. 2а. – Зависимость энергетического положения пика линии, отвечающей рекомбинации электрона из нижнего спинового состояния, от величины магнитного поля (энергия отсчитана от дна зоны размерного квантования). При заполнении $\nu > 2$ виден веер уровней Ландау. $T = 0,47 \text{ К}$, $n_s = 2,02 \cdot 10^{11} \text{ см}^{-2}$. б – Изменения энергетического положения пика этой же линии, относительно пунктирной прямой (на рис. 2а) при вариации H , измеренные при температурах: $T = 0,47 \text{ К}$, $T = 5 \text{ К}$; $T = 25 \text{ К}$. Стрелками указаны дробные факторы заполнения. $T = 0,47 \text{ К}$; $n_s = 2,02 \cdot 10^{11} \text{ см}^{-2}$

Изменение спектрального положения линий люминесценции $E_N(H)$, отвечающих рекомбинации 2D-электронов с разных уровнях Ландау ($N = 0, 1, 2$) в зависимости от H представлена на рис. 2а. Видно, что в диапазоне $1 < \nu < 2$ наблюдается отклонение зависимости спектрального положения $N = 0$ уровня Ландау от линейной, измеренной в меньших H (при $\nu < 2$, пунктир на рис. 2а). Это отклонение связано с увеличением обменного взаимодействия электронов (т.н. эффект усиления g -фактора ¹¹), которое происходит при $2 > \nu > 1$. Амплитуда этого отклонения равна энергии обменного взаимодействия электронов. Из рисунка также видно, что при дальнейшем увеличении H при низких T наблюдаются дополнительные скачкообраз-

изменения спектрального положения линии излучения, происходящие в узкой области H вблизи дробных значений $\nu = 4/5, 2/3, 3/5, 2/5, 1/3$. Амплитуда этих скачков мала по сравнению с характерной циклотронной энергией, которая задает главный масштаб изменения спектрального положения линии излучения при вариации H :

$$E_0(H) = E_g + 1/2 \cdot \hbar\omega_c.$$

Поэтому на рис. 2б в увеличенном масштабе показаны изменения позиции линии излучения $E_0(H)$ в магнитном поле, которые отсчитывались от линейной зависимости, измеренной в малых магнитных полях, и затем экстраполированной в сторону больших H (пунктир на рис. 2а).

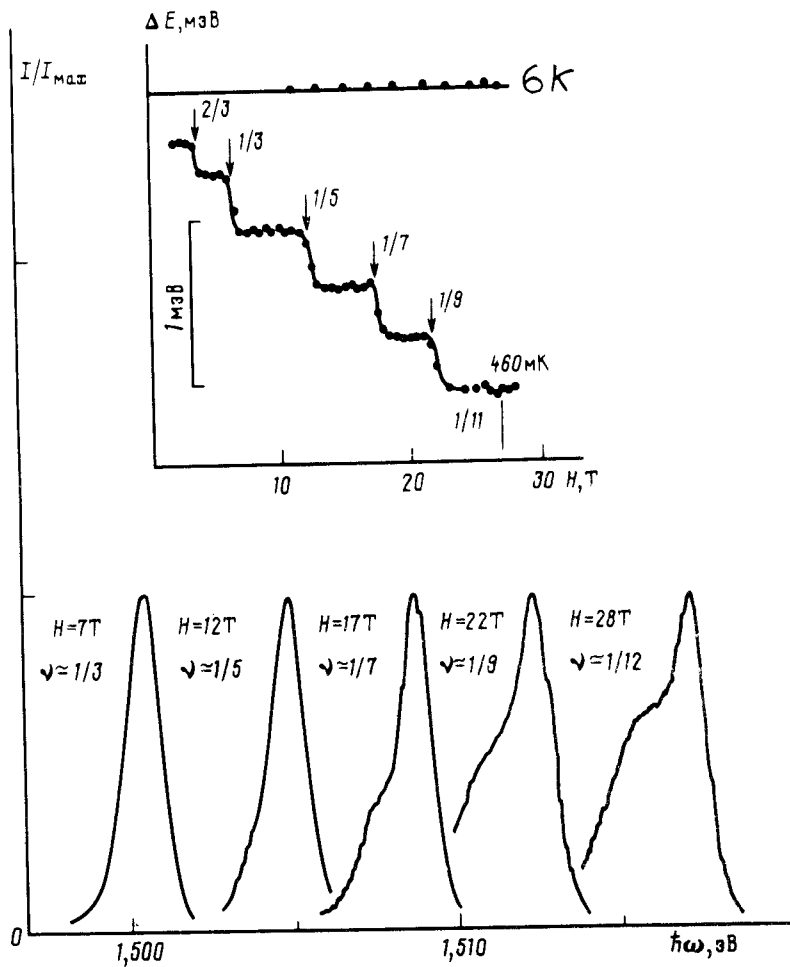


Рис. 3. Форма линий люминесценции, измеренной в различных магнитных полях при $T = 420 \text{ мК}$ на образце с концентрацией 2D-электронов $n_s = 5,6 \cdot 10^{10} \text{ см}^{-2}$ (спектры нормированы по интенсивности). На вставке показаны отклонения спектрального положения линии люминесценции в этом же образце ($T = 0,46 \text{ К}$), отсчитанные от спектрального положения этой линии при $T = 6 \text{ К}$

Отметим, что отклонения $E_0(H)$ от пунктирной прямой уменьшаются (рис. 2б) с повышением T и при $T > 30 \text{ К}$ (а для лучших структур при $T > 5 \text{ К}$) зависимость $E_0(H)$ становится строго линейной и отвечает пунктиру, показанному на рис. 2. На этом же рисунке показаны зависимости $\Delta E_0(H)$, полученные при 0,5, 5 и 25 К. Из рисунка видно, что скачки $\Delta E_0(H)$ вблизи $\nu = 4/5, 2/3, 3/5, 2/5, 1/3$ наблюдаются лишь при низких T .

и исчезают при $T > 5$ К. Особенность при $\nu = 1/3$ и $H = 25$ Тл исчезает при $T = 8$ К, что соответствует большой величине кулоновской щели и согласуется с магнитотранспортными данными: $\Delta_k \approx 6$ К для $\nu = 1/3$ и $H = 24$ Тл¹⁴. Из рис. 2б также видно, что вблизи $\nu = 1/2$ имеется аномальное поведение $E_0(H)$, которое однако, наблюдается в довольно широком диапазоне магнитных полей и слабо чувствительно к температуре. Поэтому мы считаем, что особенность при $\nu = 1/2$ имеет другую физическую природу¹⁵⁻¹⁶.

Обнаруженное скачкообразное поведение спектральной позиции линии излучения при дробных ν мы связываем со скачками химического потенциала в системе 2D-электронов при их конденсации в НФЖ¹⁷. Также, как в случае Si МДП-структур, амплитуда скачка в зависимости $E_0(H)$ вблизи дробных значений ν отвечает величине разрыва химического потенциала ξ . Согласно теории НФЖ¹⁷, значение $\Delta\xi$ для $\nu = p/q$ связано с величиной кулоновской щели Δ_k : $\Delta\xi = q\Delta_k$.

Физический смысл состоит в том, что изменение числа электронов на единицу сопровождается рождением (или поглощением) q -квазичастиц (возбуждений с дробным зарядом $\theta^* = e/q$), энергия которых отделена от основного состояния щелью Δ_k .

Обнаруженное поведение $E_0(H)$ полностью соответствует наблюдаемому нами в Si МДП-структурах и подтверждает интерпретацию, основанную на том, что скачки $E_0(H)$ вблизи дробных $\nu = p/q$ связаны с рождением (при $\nu < p/q$) или поглощением (при $\nu > p/q$) возбуждений при уменьшении числа 2D-электронов на единицу при рекомбинации с дыркой.

На структуре с малой концентрацией $n_s = 0.6 \cdot 10^{11}$ см⁻² нам удалось продвинуться в область факторов заполнения $\nu = 1/1, 2, 5$. В этом случае при $T = 420$ мК в зависимости спектрального положения линии излучения от H мы наблюдали скачки при $\nu = 2/3, 1/3, 1/5, 1/7$ и $1/9$. При повышении температуры эти скачки исчезают последовательно, начиная с больших q . Отметим, что состояние НФЖ с $\nu = 1/9$ наблюдается впервые.

Спектры люминесценции, измеренные вблизи $\nu = 1/3, 1/5, 1/7$ и $1/9$ показаны на рис. 3. Видно, что в спектрах не наблюдается каких-либо заметных расщеплений. Тщательный анализ показал, что в общем случае в окрестности дробных ν происходило небольшое уширение линии рекомбинации, которое сопровождалось слабым уменьшением пиковой интенсивности. Отметим также, что начиная с $\nu \leq 1/5$ в спектре люминесценции со стороны меньших энергий появлялось дополнительное плечо, которое постепенно росло с увеличением H и исчезало при увеличении температуры ($T \geq 1.5$ К). Одновременно с этим (при $\nu < 1/5$) начала резко падать интегральная интенсивность излучения. Эти особенности не имеют прямого отношения к НФЖ. Тем не менее они представляются нам чрезвычайно интересными, поскольку связаны с возможным появлением дальнего порядка в системе взаимодействующих электронов. Этот вопрос будет обсужден и опубликован отдельно.

В заключение авторы благодарят П.Сада, Ж.-К.Валье, К.Варт за обслуживание гибридного магнита, а также Ж.Люма и Ж.Арно за техническую помощь.

Литература

1. Ando T. et al. Rev. Mod. Phys., 1982, **54**, 437.
2. Tsui D.C. et al. Phys. Rev. Lett., 1982, **48**, 1559.
3. Goldman V.J. et al. Phys. Rev. Lett., 1988, **61**, 881; Quantum Hall Effect. Ed. R.E.Prange, S.M.Girvin. N.Y.: Springer-Verlag, 1987.
4. Laughlin R.B. Phys. Rev. Lett., 1983, **50**, 1395.
5. Wigner E.P. Phys. Rev., 1934, **46**, 1002; Лозовик Ю.Е., Юдсон В.И. Письма в ЖЭТФ, 1975, **22**, 26; Yoshio-ka D., Fukuyama H. J. Phys. Soc. Jap., 1979, **47**, 394; Levesque D. et al. Phys. Rev. B, 1984, **30**, 1056.
6. Mendez E.E. et al. Phys. Rev. B, 1984, **30**, 7310.
7. Кукушкин И.В., Тимофеев В.Б. Письма в ЖЭТФ. 1986. **44**. 179; Surf. Sci., 1988, **196**, 196.
8. Petty C.H. et al. High Magnetic Field in Semicond. Physics. Ed. G.Landwehr. Berlin: Springer-Verlag, 1978, p. 202.

9. *Goldberg B.B. et al.* Phys. Rev. Lett., 1988, **61**, 605; Surf. Sci., 1988, **196**, 209.
10. *Ando T.* High Magnetic Field in Semicond. Physics II. Ed. G.Landwerh. Berlin: Springer--Verlag, 1989, p. 164;
Uenoyama T., Sham L.J. Phys. Rev. B, 1989, **39**, 1144.
11. *Kukushkin I.V. et al.* Phys. Rev., 1988, **37**, 8509; *Kukushkin I.V. et al.* Festkorperprobleme, 1988, **28**, 21.
12. *Kukushkin I.V. et al.* Phys. Rev. B, 1988, **40**, 4179.
13. *Kukushkin I.V. et al.* Phys. Rev. B, 1990, in press.
14. *Willett R. et al.* Surf. Sci., 1988, **196**, 257.
15. *Jiang H.W. et al.* Phys. Rev. B, 1989, **40**, 1203.
16. *Rosenstein R., Wagner I.D.* Phys. Rev. B, 1989, **40**, 1973.
17. *Halperin B.I.* Helv. Phys. Acta, 1983, **56**, 75; *Morf R., Halperin B.I.* Phys. Rev. B, 1986, **33**, 2221.

Институт физики твердого тела
Академии наук СССР

Поступила в редакцию
26 апреля 1990 г.